

بررسی بیوسیستماتیکی سرده حشرخوار اوتریکولاریا^۱ در ایران

شهریار سعیدی مهرورز: دانشگاه گیلان، گروه زیست‌شناسی
رضا حسن ساجدی: دانشگاه تربیت مدرس، گروه بیوشیمی
زینب شمسیان: دانشگاه گیلان، گروه زیست‌شناسی

چکیده

در تحقیق حاضر ویژگی‌های ریخت‌شناسی، تشریحی، گردش‌شناسی و مولکولی سرده اوتریکولاریا از تیره اوتریکولاریاسه^۲ بررسی شد. این سرده در ایران دو گونه به نام‌های اوتریکولاریا استرالیس^۳ و اوتریکولاریا مینور^۴ دارد. در بررسی ریخت‌شناسی دو گونه از نظر طول استولون، وجود و عدم وجود ریزوئید و شکل کیسه چه تلمهای با یکدیگر تفاوت دارند. در بررسی تشریحی، شکل سلول‌های اپiderمی ساقه، ضخامت و شکل سلول‌های آنرانشیمی و پارانشیم پوستی از صفات متمایز کننده دو گونه است. در بررسی گردش‌شناسی، دانه‌های گرده این دو گونه چند شیاره و بدون منفذ است و همچنین ترتیبات سطح اگزین از نوع شکافدار است. نتایج حاصل از تجزیه و تحلیل توالی کلروپلاستی trnL-F نشان می‌دهد که اوتریکولاریا استرالیس با اوتریکولاریا ماکروریزا^۵ و اوتریکولاریا مینور با اوتریکولاریا اینترمیدیا^۶ خویشاوند هستند.

مقدمه

سرده اوتریکولاریا از تیره اوتریکولاریاسه ۲۲۰ گونه دارد [۱] و ۳۵٪ از کل گیاهان حشرخوار را تشکیل می‌دهد. از این سرده در منطقه فلور ایرانیکا چهار گونه به نام‌های اوتریکولاریا نگلکتا^۷، اوتریکولاریا اوتریکولاریا ولگاریس^۸ و اوتریکولاریا اکرولئوکا^۹ گزارش شده است که صرفاً به پراکندگی گونه اوتریکولاریا ولگاریس از شمال و غرب ایران (لرستان) اشاره گردید [۲]. بر اساس آخرین گزارش‌ها اوتریکولاریا نگلکتا با گونه اوتریکولاریا استرالیس^{۱۰} مترادف شده است [۲]، [۳]. اخیراً گونه اوتریکولاریا مینور به عنوان گزارش جدید از جاده هراز در استان مازندران و جاده لاسم در فیروزکوه معرفی شد [۵]. دو گونه اوتریکولاریا استرالیس و مینور به بخش اوتریکولاریا تعلق دارد. این سرده گیاهانی علفی، چندساله و حشرخوار. خاکزی، آبزی و یا دارزی؛ فاقد ریشه‌های حقیقی، دارای ریزوئید منتهی به انشعاب‌های کوتاه دو بخشی بسیار منقسم و با

واژه‌های کلیدی: *Utricularia*، تشریحی، گرده شناسی، trnL-F

دریافت ۹۰/۳/۷ پذیرش ۹۰/۳/۷

*نویسنده مسئول saeidimz@guilan.ac.ir

۱. *Utricularia* L.

۲. *Lentibulariceae*

۳. *U. australis* R. Br.

۴. *U. minor* L.

۵. Bladder

۶. *U. macrorhiza*

۷. *U. intermedia*

۸. *U. neglecta* Lehm

۹. *U. vulgaris* L.

۱۰. *U. ochroleuca* R. Hartman.

۱۱. *R. Br U. australis*

داشتن برگ‌های ساده در انتهای دارای موهای سیخکی یا فاقد آن گل‌آذین خوش، گل‌ها کامل و نامنظم. کاسه ۲ لوبه که روی هم قرار گرفته و تقریباً برابر، جام دارای ۵ گلبرگ بهم پیوسته، ۲ لبه، لب پایینی بزرگتر از لب بالایی؛ اغلب زرد. مهمیز کیسه‌ای یا مخروطی، بندرت خمیده، پرچم‌ها ۲ عدد، میوه کپسول شکوفا بهصورت عرضی یا ناشکوفا و بذرهای فراوان، بسیار کوچک و قهوه‌ای مشخص می‌شود.

متکalf^۱ و شالک^۲ [۶]، چند گونه از این سرده را از دیدگاه تشریحی بررسی کردند و بهوجود مزوغیل با سلول‌های یکشکل و قطر یکسان در اوتريکولاریا ولگاریسو کریستانل‌های کوچک و دوکی شکل در اوتريکولاریا مونتنا^۳ اشاره کردند.

لوبرو-کلان^۴ و همکارانش [۷]، پژوهش‌های گردشناصی ۳۹ گونه این سرده بهویژه اوتريکولاریا استرالیس را بررسی کرد و نتیجه‌گیری کرد که دانه‌های گرده از سه شیاره- منفذ^۵ تا چند شیاره- منفذ^۶ متغیر است.

بررسی‌های مولکولی از این سرده بر اساس توالی‌های (trnK [۸]، trnL-F DNA rps16 intron [۹]، RAPD [۱۰]، انگشت‌نگاری مولکولی^۷ [۱۱]) گزارش شده است. در این مقاله کلید شناسایی دو گونه از سرده اوتريکولاریا موجود در ایران بر اساس صفات ریخت‌شناسی تهیه گردید و همچنین ویژگی‌های تشریحی، گردشناصی آن‌ها و تعیین موقعیت فیلوژنی اوتريکولاریا مینور با استفاده از توالی کلروپلاستی trnL-F بررسی و مقایسه شد.

مواد و روش‌ها

در فصل نابستان سال ۱۳۸۸، اوتريکولاریا استرالیس (شکل ۱) از تالاب امیرکلایه و مردانه کیاشهر در استان گیلان و اوتريکولاریا مینور از نواحی فیروزکوه جمع‌آوری شد. برای بررسی تشریحی، اندام‌های آن‌ها در محلول تثبیت کننده FAA قرار داده شد سپس نمونه‌های با محلول‌های الکلی آبگیری شده و پس از پارافینه کردن و قالب‌گیری، برش‌گیری بهصورت عرضی و طولی به ضخامت ۵-۱۰ میکرومتر با دستگاه میکروتوم^۸ صورت گرفت. برش‌ها با محلول‌های آبی متیل و کارمن رنگ‌آمیزی و بررسی شد.

برای بررسی تزئینات سطح دانه گرده از روش [۱۲] و [۱۳] استفاده شد. دانه‌های گرده را از بساک جدا می‌کنیم و با اسید استنیک گلاسیال آبگیری کرده و داخل سانتریفوژ قرار می‌دهیم، سپس با روش استولیز در انیدریک استنیک و اسید سولفوریک (۹:۱) بهمدت ۳ تا ۴ دقیقه در بن ماری ۱۰۰ درجه سانتی‌گراد حرارت می‌دهیم تا پلی‌ساقاریدها حذف شوند. پس از شستشو با آب مقطرا و چند بار سانتریفوژ بهمکم میکروسکوپ الکترونی^۹ مدل LEO 1430 VP سطح دانه گرده بررسی شد. برای تفسیر نوع و آرایش سطح دانه گرده از [۱۴] و [۱۵] استفاده شد.

۱. Metcalf	۲. Chalk	۳. <i>U. montana</i>	۴. Lobreaux-Callen
۶. zonocolporate	۷. DNA fingerprinting	۸. Reichert-Jung Model Biocut 2030	۵. Tricolporate
۹. SEM Model LEO 1430			

استخراج DNA ژنومی، تکثیر و تعیین توالی قطعه trnL-F گلروپلاستی

استخراج DNA تام از برگ تازه نمونه‌های جمع‌آوری شده اوتريکولاریا مینور با استفاده از روش استخراج CTAB انجام شد [۱۶] و با استفاده از تعیین جذب در طول موج ۲۶۰ نانومتر و نسبت جذب ۲۶۰ به ۲۸۰ نانومتر کیفیت و کمیت DNA ژنومی استخراج شده از گیاه ارزیابی شد. آغازگر یونیورسال^۱ (trnL-F_c °C) ۵'-TTTGAACCTGGTAGACGCTACG-3'، T_m=۶۰/۵ و ۵'-CGAAATCGGTAGACGCTACG-3'، T_m=۵۹ °C، ۳' از شرکت سیناژن (ایران، تهران) (۱۲/۵ میکرولیتر)، پرایمرهای پیشرونده^۲ و پسرونده^۳ با غلظت ۱۰ pmol هر کدام ۱ میکرولیتر از: DNA آلگو^۴ (۵ میکرولیتر)، پرایمرهای پیشرونده^۵ و پسرونده^۶ با غلظت ۱۰ pmol هر کدام ۱ میکرولیتر PCR^۷ از شرکت سیناژن (ایران، تهران) (۱۲/۵ میکرولیتر) و آب دیونیزه استریل (۵/۵ میکرولیتر). برای تقویت ناحیه ژنی موردنظر از دستگاه ترموسیکلر^۸، ژن Amp^۹ استفاده گردید. مرحل انجام PCR به ترتیب زیر بود و اسرائیلیه^{۱۰} (۵ دقیقه، ۹۳ °C)، و اسرائیلیه^{۱۱} (۳۵ ثانیه، ۹۳ °C)، جفت شدگی^{۱۲} (۴۵ ثانیه، ۹۳ °C)، پیشرفت^{۱۳} (۷۲ °C ۹۰ ثانیه) و گسترش نهایی (۵ دقیقه، ۷۲ °C). تخلیص محصول PCR با استفاده از کیت، تخلیص PCR^{۱۴} انجام شد. بهمنظور تعیین تراکم‌های نوکلئوتیدی، قطعات تکثیر شده و خالص شده با استفاده از یک توالی‌گر مولکولی و به روش‌های اتوماتیک MWG آلمان و اتمام زنجیره^{۱۵} [۱۸] و به سفارش شرکت فرآیند دانش تعیین توالی شدند.

روش‌های مربوط به آنالیز توالی

بهمنظور بهدست آوردن توالی‌های نوکلئوتیدی قطعه trnL-F مربوط به گونه‌های مختلف اوتريکولاریا، کاوشهایی در بانک‌های اطلاعاتی ژنی^{۱۶} [۱۹] و EBI^{۱۷} انجام شده و با استفاده از بلاستین^{۱۸} [۲۰] جستجوی همولوژی به عمل آمد. توالی‌ها بهمکمل برنامه ویژه^{۱۹} [۲۱] مقایسه و تطبیق گردیدند.

آنالیز فیلوژنتیکی

آنالیز فیلوژنتیکی با استفاده از قطعه trnL-F از ۸ گونه اوتريکولاریا انجام شد. در این پژوهش برای اولین بار این قطعه از اوتريکولاریا مینور تعیین توالی گردید (شکل ۲). توالی قطعه مذکور از سایر گونه‌های استفاده شده در این تحقیق (از جمله اوتريکولاریا استرالیس) از بانک‌های اطلاعاتی استخراج شد. سپس با استفاده از فرمت dnd فایل خروجی ویژه، درخت فیلوژنتیکی بهروش نیبور-جوینیگ^{۲۰} و بهمکمل نرم افزار مگا^{۲۱} [۲۲] ترسیم گردید.

- | | | | |
|------------------------------|--------------------------|--|------------------------------------|
| ۱. Universal Primer | ۲. Template DNA | ۳. Forward Primer | ۴. Reverse Primer |
| ۵. PCR Master Mix | ۶. Thermocycler | ۷. Gene Amp Model 9700 (Applied Biosystems, USA) | |
| ۸. Initial Denaturation | ۹. Annealing | ۱۰. Extension | ۱۱. PCR purification (BIONEER, UK) |
| ۱۲. Chain termination method | ۱۳. www.ncbi.nlm.nih.gov | | w.w.w.srs.ebi.ac.uk |
| ۱۵. BLASTN | ۱۶. CLUSTALW | ۱۷. Neighbour-Joining | ۱۸. Mega |

نتایج و بحث

از بررسی ریخت‌شناسی تفاوت‌های محسوس در طول استولون، وجود و عدم وجود ریزوئید، طول پهنهک برگ و شکل کیسه چه تله‌ای (شکل ۳) در دو گونه اوتریکولاریا مشاهده شد و کلید شناسایی برای آن‌ها تهیه شد:

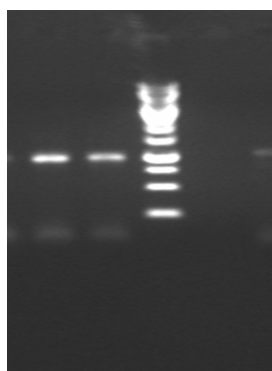
- استولون به طول ۱۱۰ سانتی‌متر و همشکل، ریزوئید رشته‌ای. برگ‌ها به طول ۱/۵ تا ۳ سانتی‌متر. گل به طول ۱۲ تا ۱۵ میلی‌متر. کیسه چه تله‌ای تخم مرغی پهن..... (*U. australis*).....

- استولون به طول ۱۰-۲۰ سانتی‌متر و غیر همشکل، فاقد ریزوئید. برگ‌ها به طول ۱/۵ تا ۵ میلی‌متر. گل به طول تا ۸ میلی‌متر. کیسه چه تله‌ای تقریباً مدور..... (*U. minor*).....

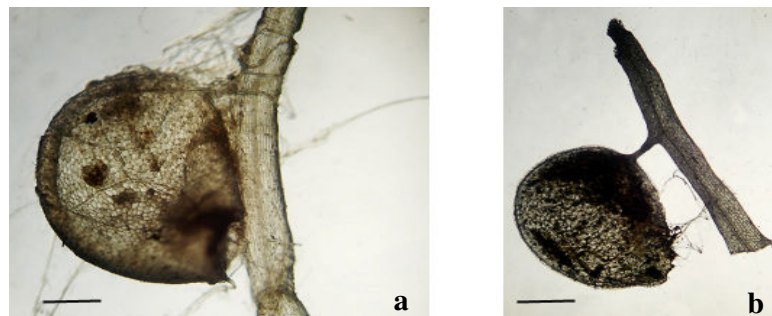
از بررسی تشریحی اندام‌های این دو گونه صرفاً تفاوت‌های قابل ملاحظه‌ای در برش‌های ساقه به شرح زیر به دست آمد:

ساقه: در دو گونه بررسی شده شکل مقطع عرضی ساقه کروی، یا حاشیه صاف است. در خارجی‌ترین لایه، یک ردیف اپیدرم قرار دارد که در اوتریکولاریا استرالیس این سلول‌ها یا قطر یکسان ولی در اوتریکولاریا مینور سلول‌های اپیدرمی طویل‌تر و یا قطر نابرابر است و در بین سلول‌های اپیدرمی، سلول‌های روزنه از نوع هم سطح مشاهده می‌شود. سلول‌های آنرانشیم در اوتریکولاریا استرالیس بیضوی تا تقریباً مدور (شکل ۳) و در اوتریکولاریا مینور تخم مرغی تا تخم مرغی باریک است. یک ردیف لایه انودرم در گونه اوتریکولاریا استرالیس دیده می‌شود (شکل ۴). در قسمت داخلی ساقه آوند چوب و آبکش قرار دارد که در اوتریکولاریا مینور تقلیل یافته است (شکل ۵).

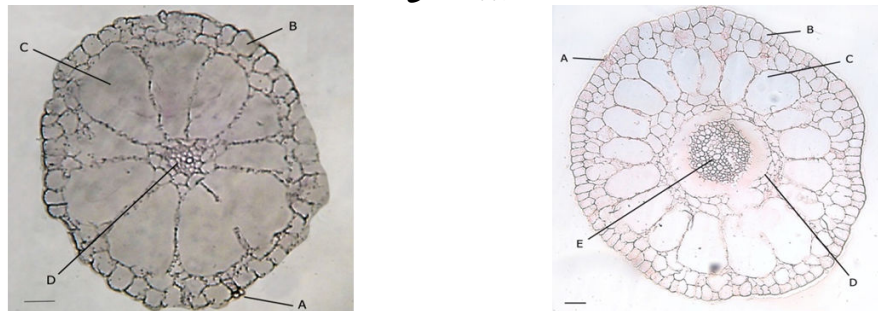
در گونه اوتریکولاریا استرالیس ضخامت مقطع عرضی μ ۸۵۰-۹۸۰، پارانشیم پوستی ۴ تا ۵ لایه، ضخامت سلول‌های آنرانشیمی μ ۱۱۱/۸-۱۹۵ در گونه اوتریکولاریا مینور ضخامت مقطع عرضی μ ۵۹۲/۵-۴۵۲/۵، پارانشیم پوستی ۲ تا ۳ لایه، سلول‌های آنرانشیمی μ ۱۳۷/۸-۲۴۷ مشاهده گردید (جدول ۱). در برش طولی ساقه در گونه اوتریکولاریا استرالیس سلول‌های اپیدرمی مستطیلی باریک و کشیده، اما در گونه اوتریکولاریا مینور سلول‌های مستطیلی قطور است (شکل ۶).



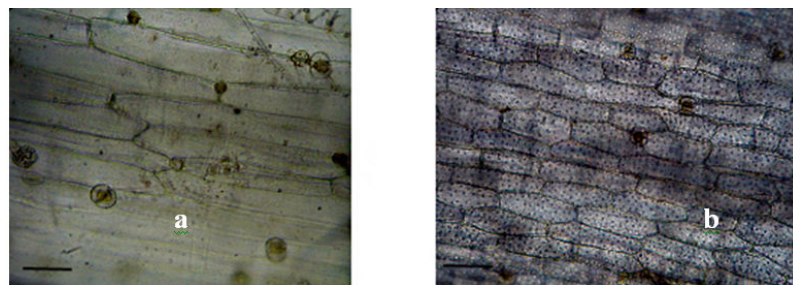
شکل ۱. نمایی از گونه اوتریکولاریا استرالیس شکل ۲. آنالیز PCR با استفاده از الکتروفورز ژل آگارز گونه اوتریکولاریا مینور مارکر وزن ملکولی DNA استفاده شده SM0311 است



شکل ۳. کیسه چه تله‌ای در (a) اوتریکولاریا استرالیس و (b) اوتریکولاریا مینور به کمک میکروسکوپ نوری با بزرگنمایی ۱۰



شکل ۴. برش عرضی از بافت ساقه در اوتریکولاریا استرالیس با بزرگنمایی ۱۰ : (A) روزنه، (B) اپیدرم، (C) آنراشیم، (D) آندودرم، (E) دستجات آندی.
شکل ۵. برش عرضی از بافت ساقه در اوتریکولاریا مینور با بزرگنمایی ۱۰ :



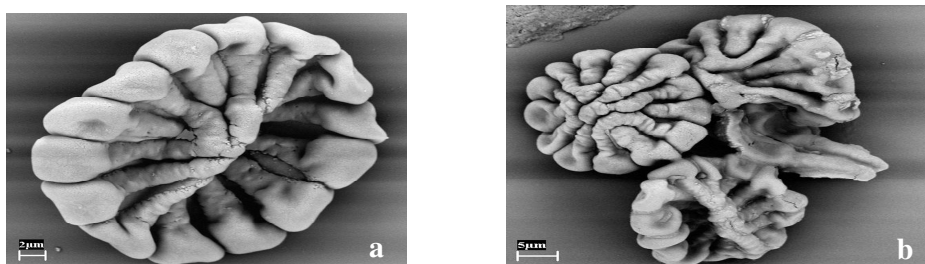
شکل ۶. سلول‌های اپیدرمی ساقه در (a) اوتریکولاریا استرالیس و (b) اوتریکولاریا مینور به کمک میکروسکوپ نوری با بزرگنمایی ۴۰

تصاویر میکروسکوپ الکترونی نگاره با بزرگنمایی ۲ و ۵ ماکرومتر از دانه گرده دو گونه اوتریکولاریا استرالیس و مینور (شکل ۷) نشان می‌دهد که دانه‌های گرده آن‌ها ساده، چند دریچه‌ای (بیش از ۱۰ دریچه)، بدون منفذ و در انتهای آپوکولپیوم^۱، پاراسینکولپیت^۲ هستند. همچنین با بررسی سطح اگزین با بزرگنمایی ۲۰۰ و ۳۰۰ ماکرومتر مشخص شد که تزئینات سطح اگزین شان شکافدار است (شکل ۸). با توجه به بررسی گردشناصی، تقافت آشکاری در دانه‌های گرده این دو گونه دیده نمی‌شود. این نتایج با نتایج حاصل از لوبرنو-کالن^۳ و همکارانش [۷] که بر روی دانه گرده گونه اوتریکولاریا استرالیس بررسی شده مطابقت دارد. اما در نوع تزئینات سطح اگزین دانه گرده که از نوع شکافدار است (شکل ۸) مغایرت دارد، بهطوری‌که وی تزئینات سطح اگزین در گونه اوتریکولاریا استرالیس را صاف گزارش کرده بود.

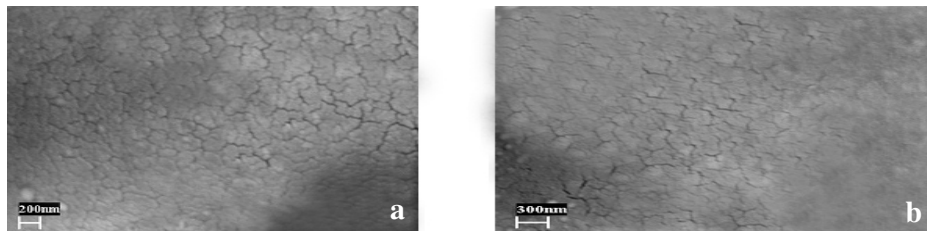
۱. Apocolpium

۲. Parasyncolpat

۳. Lobreaux-Callen



شکل ۷. تصاویر میکروسکوپ الکترونی از دانه‌های گرده با بزرگنمایی ۲ و ۵ ماکرومتر (a) اوتریکولاریا استرالیس و (b) اوتریکولاریا مینور.



شکل ۷. تصاویر میکروسکوپ الکترونی از ترتیبات سطح اگزین دانه‌های گرده با بزرگنمایی ۲ و ۵ ماکرومتر (a) اوتریکولاریا استرالیس و (b) اوتریکولاریا مینور

جدول ۱. خلاصه اطلاعات صفات تشریحی پرش عرضی ساقه در دو گونه بررسی شده

تعداد لایه سلولی	ضخامت مقطع عرضی ساقه (μ)	ضخامت سلول های آنژنیمی (μ)	شکل سلولهای آنژنیمی	نامکنون
۴-۵	۸۵۰-۹۸۰ μ	۱۱۱/۸-۱۹۵ μ	بیضوی تا تقریباً دور	<i>U. australis</i>
۲-۳	۴۵۲.۵ - ۵۹۲.۵ μ	۱۳۷/۸ - ۲۲۴۷ μ	تخم مرغی تا تخم مرغی باریک	<i>U. minor</i>

درخت نیبور- جوینیگ حاصل از تجزیه و تحلیل داده‌های توالی کلروپلاستی *trnL-F* برای گونه‌های بخش اوتریکولاریا (شکل ۹) از پایین به بالا شامل کلادی با دو گونه اوتریکولاریا اینفلاته^۱ و اوتریکولاریا اورنا^۲ (با ارزش حمایتی ۷۶٪) و دو گونه اوتریکولاریا اینترمیدیا و مینور (با ارزش حمایتی ۵۶٪) بهصورت پله‌ای^۳ قرار گرفته‌اند. بعد از آن کلادی از دو گونه اوتریکولاریا ولگاریس و اوتریکولاریا جینیسکاپا^۴ (با ارزش حمایتی ۶۵٪) و بالاتر از آن‌ها کلادی با دو گونه اوتریکولاریا استرالیس و اوتریکولاریا ماکروریزا^۵ (با ارزش حمایتی ۷۲٪) که دو کلادند بالایی گروه خواهری را تشکیل می‌دهند دارای ارزش حمایتی برابر ۵۸٪ است.

یافته‌های حاضر با نتایج فیلوجنی‌های مولکولی بر اساس نشانگرهای RAPD [۱۰] و ژن *rps16* [۸] سازگار است. همچنین خویشاوندی اوتریکولاریا استرالیس با اوتریکولاریا ولگاریس و ماکروریزا که در تحقیق حاضر حاصل شد رده‌بندی درون جنس این سرده را بر اساس ویژگی‌های ریخت‌شناسی تأیید می‌کند [۳]. ارتباط نزدیک دو گونه اوتریکولاریا ماکروریزا و اوتریکولاریا استرالیس را می‌توان به عدد کروموزومی مشرك آن‌ها [۲۲] و شباهت کیسه چه تله‌ای تخم مرغی‌شان [۳] نسبت داد. در نتیجه روش تعیین توالی قطعه *trnL-F* کلروپلاستی برای تعیین تنوع ژنتیکی و قرابت گونه‌های جنس آبزی اوتریکولاریا مفید ارزیابی می‌شود.

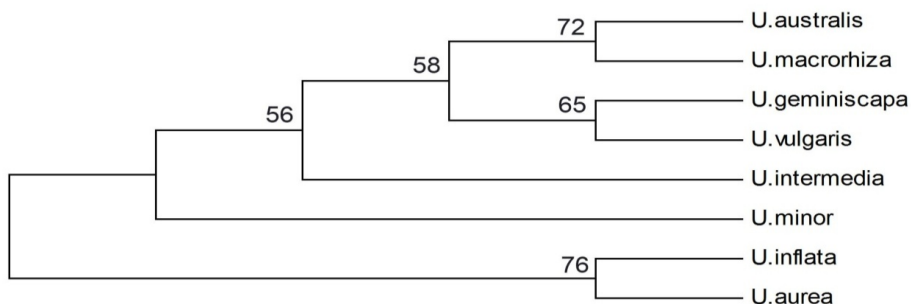
۱. *U. inflate*

۲. *U. aurea*

۳. Bootstrap

۴. grade

۵. *U. geminiscapa*



شکل ۹. درخت نیبور- جوینیگ برای گونه‌های بخشه اوتریکولاریا بر اساس اطلاعات حاصل از توالی کلروپلاستی *trnL-F*، اعداد روی شاخه‌ها ارزش حمایتی هستند

منابع

1. W. Barthlott, S. Porembski., R. Seine, I. Theisen, "Karnivoren, Biologie und Kultur Fleischfressender Pflanzen", Verlag Eugen Ulmer, Stuttgart (2004).
2. S. J. Casper, "Lentibulariaceae. In K. H. Rechinger (ed.)", Flora Iranica vol.58 (1969)1-3. Graz.
3. P. Taylor, "The genus *Utricularia*: a taxonomic monograph. Kew Bulletin Additional Series XIV", Her Majesty's Stationery Office, London (1989).
4. N. Mette, N. Wilbert, W. Barthlott, "Food Composition of Aquatic Bladderworts (*Utricularia*, Lentibulariaceae) in Various Habitats", Beitr. Biol. Pflanzen 72 (2000)1-13.
5. A. Naqinezhad, B. A. Rice, F. Attar, A. Jalili, "*Utricularia* (Lentibulariaceae) of Iran", Carniv. Pl. Newslett., 37 (2007) 4-10.
6. C. R. Metcalf, L. Chalk, "Anatomy of the Dicotyledons", 1(1957) 991-885., Oxford. Clarendon press.
7. D. Lobreau-Callen, J. Jérémie, M. Suarez-Cervera, "Morphologie et ultrastructure du pollen dans le genre *Utricularia* L. (Lentibulariaceae)", Can. J. Bot. 77 (1999) 744-767.
8. R. W. Jobson, J. Playford, K. M. Cameron, V. A. Albert, "Molecular phylogenetics of Lentibulariaceae inferred from plastid rps16 intron and trnL-F DNA sequences: implications for character evolution and biogeography", Syst. Bot. 28 (2003) 157-171.
9. K. Muller, T. Borsch, "Phylogenetics of *Utricularia* (Lentibulariaceae) and molecular evolution of the trnK intron in a lineage with high substitutional rates", Plant Syst. Evol, 250: (2005) 39-67.
10. M. O. Rahman, "Evaluation of RAPD markers for taxonomic relationships in some aquatic species of *Utricularia* L. (Lentibulariaceae)", Bangladesh J. Plant Taxon 13 (2)(2006) 73-82.

11. M. O. Rahman, M. O. "DNA fingerprinting in *Utricularia* L. Section *Utricularia* as revealed by PCR based assay", *Inter. J. Bot.* 3 (1) (2007) 56-63.
12. G. Erdtman, "Pollen morphology and plant taxonomy" *Angiosperms, (An Introduction to Palynology I)*, Hafner Pub. Co. New York (1966).
13. M. Hesse, H. Halbritter, R. Zetter, M. Weber, R. Buchner, A. Frosch-Radivo, S. Ulrich, "Pollen Terminology. An illustrated handbook", Springer, Wien. (2009) 264.
14. W. Punt, P. P. Hoen, S. Blackmore, S. Nilsson, A. L. Thomas, "Glossary of Pollen and Spore Terminology", 143 (2007) 1-81.
15. J. W. Walker, J. A. Doyle, "The bases of angiosperm phylogeny, palinology", *Annals of the Missouri Botanical Garden*, 1975;62 (2006) 664-723.
16. A. Untergasser, "DNA Miniprep using CTAB" Untergasser's Lab. (include here the date when you accessed these page). <http://www.untergasser.de/lab/protocols/miniprep_dna_ctab_v1_0.htm> (2008).
17. P. Taberlet, L. Gielly, G. Pautou, J. Bouvet, "Universal primers for amplification of three non-coding regions of chloroplast DNA", *Plant Molecular Biology* 17 (1991) 1105-1109.
18. F. Sanger., S. Nicklen, A. R. Coulson, "DNA sequencing with chain-terminating inhibitors", *Proceedings of the National Academy of Sciences*, 74 (1977) 5463-5467.
19. D. A. Benson, I. Karsch-Mizrachi, D. J. Lipman, J. Ostell, B. A. Rapp, D. L. Wheeler, "GenBank, *Nucleic Acids Research*", 32 (2004) 23-26.
20. S. F. Altschul, T. L. Madden, A. A. Schäffer, J. Zhang., Z. Zhang., W. Miller, D. J. Lipman, "Gapped BLAST and PSI-BLAST: a new generation of protein", *Nucleic Acids Res.* 25 (17) (1997) 3389-402.
21. J. D. Thompson, D. G. Higgins, T. J. Gibson, "CLUSTALW: improving the sensitivity of progressive multiple sequence alignment through sequence weighting", position specific gap penalties and weight matrix choice, *Nucleic Acids Research*. 22 (1994) 4673-4680.
22. K. Tamura K, J. Dudley, M. Nei, S. Kumar, "MEGA4: Molecular Evolutionary Genetics Analysis (MEGA)", Software Version 4.0. *Mol Biol Evol.* 24 (2007) 1596-1599.
23. S. J. Casper, H. Manitz, "Beiträge zur Taxonomie und Chorologie der mitteleuropäischen *Utricularia*-Arten", II. Androsporogenese, chromosomenzahlen und pollenmorphologie. *Feddes Reportorium* 86 (1975) 211-23.